

ДИССОЦИАТИВНОЕ ВОЗБУЖДЕНИЕ CdJ_2 ЭЛЕКТРОННЫМ УДАРОМ

А.Н. Коноплев, Н.Н. Чаварга,
В.Н. Славик, В.С. Шевера

В связи с разработкой газоразрядных лазеров на моногалогенидах металлов второй группы и необходимостью выяснения физики их работы имеется большая потребность в константах по процессам возбуждения и ионизации дигалогенидов цинка, кадмия и ртути. Исследование диссоциативного возбуждения моногалогенидов ртути электронным ударом выполнено в работе [1] и в дальнейшем на основании данных как о возбуждении, так и других процессах; авторами [2] была построена кинетическая модель работы мощного HgBr -лазера. Дигалогениды цинка и кадмия, как лазерно-активные среды, представляют интерес в связи с возможностью расширения диапазона генерации эксимерных молекул в красную и инфракрасную область спектра. Ранее в работах [3-5] по некоторым дигалогенидам кадмия и цинка были выполнены исследования излучательных характеристик и генерации, однако отсутствие данных о процессах их возбуждения сдерживало дальнейшее развитие исследований.

В данной работе впервые проведены измерения эффективного сечения диссоциативного возбуждения молекул CdJ_2 электронным ударом в интервале энергий от порога возбуждения до 100 эВ.

Экспериментальные исследования выполнены на установке, состоящей из камеры столкновений, оптического монохроматора и фотозелектрической системы регистрации слабых световых потоков. В камере столкновений размещены нагреваемая паронаполненная ячейка и электронная пушка. Эксперименты с дигалогенидами металлов затруднены, в связи с возможным образованием диэлектрических пленок на электродах, что часто приводит к искажению вытягивающих и управляющих потенциалов электронной пушки. Выбор оптимального температурного режима работы в камере столкновений осуществлялся на основании предварительных экспериментов, позволяющих обеспечить достаточно интенсивные сигналы излучения в условиях однократных столкновений. Для оптимальной рабочей температуры 290 °C давление насыщенного пара CdJ_2 соответствовало $5 \cdot 10^{-3}$ мм рт. ст. Световодное окно ячейки изготавлялось из магний-фторового материала, обладающего высокой теплопроводностью. Электронная пушка представляла собой пятиэлектродную систему. В качестве эммитера электронов использовался вольфрамовый катод, третий анод пушки имел специальную форму и выполнял роль газовой ячейки. Монокинетичность электронного пучка в рабочих условиях составляла примерно 1 эВ.

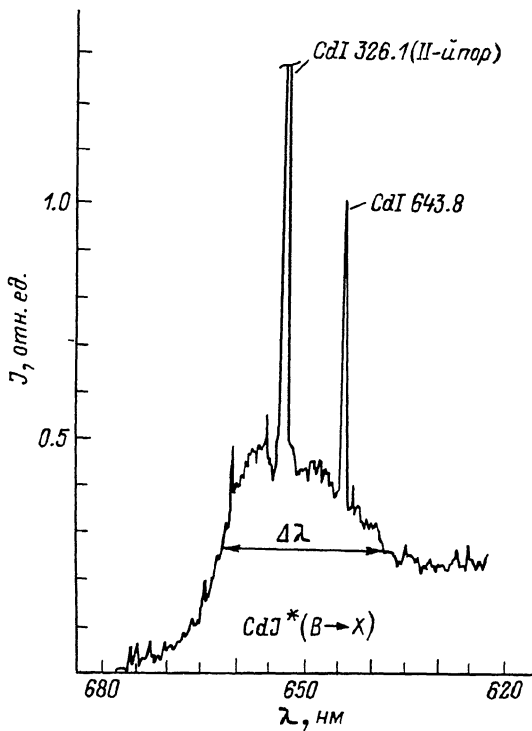


Рис. 1. Участок спектра излучения молекулы CdJ_2 при возбуждении электронами с энергией 20 эВ.

Излучение молекул CdJ^* и других компонент регистрировалось дифракционным монохроматором с обратной линейной дисперсией 20 \AA mm^{-1} . Система фоторегистрации работала в режиме счета фотонов и включала ФЭУ-106, предварительный усилитель, электронно-счетное устройство (формирователь импульсов, широкополосный усилитель, дискриминатор, задающий генератор, измеритель скорости счета) и самописец. Фотоэлектронные импульсы накапливались за время 10–20 с.

В результате выполненных исследований получены спектры излучения молекул CdJ_2 и измерена абсолютная величина оптической функции возбуждения CdJ^* электронным ударом. Результаты измерений представлены на рис. 1, 2 и таблице.

В исследуемом диапазоне спектра излучения 3200–7100 Å наблюдалась молекулярные полосы диссоциативно-возбужденных фрагментов, а также атомарные и ионные линии кадмия. Перечень наиболее интенсивных линий излучения и их соотношение интенсивности с учетом спектральной чувствительности системы регистрации приведены в таблице.

Соотношение интенсивностей линий в спектре излучения CdJ_2
при возбуждении электронным пучком с энергией $E=20$ эВ

$\lambda, \text{ \AA}$	Элемент	Переход	$\frac{I_\lambda}{I_{\lambda}(6438.47)}$
3261.05	CdI	$5p^3P_1^o \rightarrow 5s^21S_0$	3.08
3466.2	CdI	$5d^3D_2 \rightarrow 5p^3P_1^o$	
3467.65	CdI	$5d^3D_1 \rightarrow 5p^3P_1^o$	0.54
3610.51	CdI	$5d^3D_3 \rightarrow 5p^3P_2^o$	0.78
4415.6	$CdII$	$5s^22D_{5/2} \rightarrow (^1S)5p^2P_{3/2}^o$	0.24
4678.15	CdI	$6s^3S_1 \rightarrow 5p^3P_0^o$	0.38
4799.91	CdI	$6s^3S_1 \rightarrow 5p^3P_1^o$	0.86
5085.82	CdI	$6s^3S_1 \rightarrow 5p^3P_2^o$	1.27
6438.47	CdI	$5d^1D_2 \rightarrow 5p^1P_1^o$	1

Участок спектра излучения, представленный на рис. 1 в диапазоне $\lambda = 6225-6900 \text{ \AA}$, получен при энергии электронов $E=20$ эВ. Полоса излучения CdJ^* имеет кант в длинноволновой области при 6570 \AA и слабо спадает во всем видимом диапазоне. На фоне молекулярной полосы наблюдаются интенсивные линии, принадлежащие атомарным и ионным фрагментам.

Оптическая функция диссоциативного возбуждения CdJ^* электронным ударом (рис. 2) измерена для канта полосы $\lambda = 6570 \text{ \AA}$ в интервале энергии от порога возбуждения до 100 эВ. Абсолютная величина эффективного сечения возбуждения молекулярной полосы определялась методом сравнения потока излучения с эталонным источником и равна $7.1 \cdot 10^{-17} \text{ см}^2$. Ошибка в определении сечения составляет $\pm 35\%$.

Из полученных результатов следует, что процесс диссоциативного возбуждения $B^* \Sigma^+_g$ состояния CdJ^* электронным ударом имеет высокую интенсивность и его абсолютная величина сечения максимальна в области малых энергий электронов.

Результаты измерений используются нами для расчета основных характеристик плазмы и кинетики процессов в газоразрядном эксимерном лазере на смеси $CdJ_2 - Ne$.

Список литературы

- [1] Малинин А.Н., Шуайбов А.К., Шевер В.С. // Квантовая электроника. 1983. Т. 10. № 7. С. 1945-1946.
- [2] Kushner M.J., Pindrooh A.L., Fisher C.H., Znotins T.A., Ewing J.J.

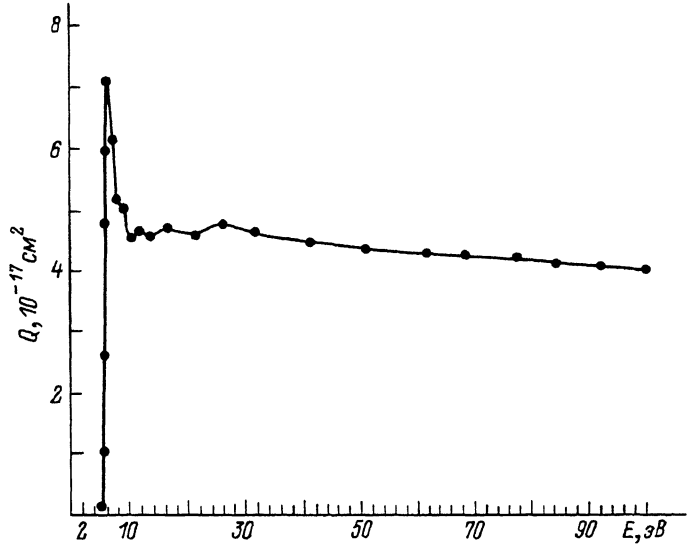


Рис. 2. Эффективное сечение диссоциативного возбуждения $\delta^2 \sum_2^+$ состояния CdJ^* электронным ударом.

//J. Appl. Phys. 1985. V. 57. N 7. P. 2406-2423.

- [3] Ediger M.N., McCown A.W., Eden J.G. // IEEE Journal of quantum electronics. 1983. V. QE-19. N 3. P. 263-266.
- [4] Greene D.P., Eden J.G. // Appl. Phys. Lett. 1983. V. 43. N 5. P. 418-420.
- [5] Коноплев А.Н., Кельман В.А., Шеверба В.С. // ЖПС. 1983. Т. XXXIX. В. 2. С. 315-317.

Ужгородский государственный
университет

Поступило в Редакцию
31 июля 1989 г.